

Sedimentological and Biostratigraphic study of the Al-Thawrah & Starbeh Formations in the Al-Haffah Sheet

Gaith AL-Debat * 

Dr. Samer AL-beb**

Dr. Abdulkarim AL-abdall***

(Received 13 / 7 / 2025. Accepted 18 / 9 / 2025)

ABSTRACT

The Thawrah and Starbeh formations are exposed in the central part of the Al-Haffah Sheet at a scale of 1:50000, extending from north to south. Some stratigraphic levels of these formations are partially or entirely absent. The formations were investigated from biostratigraphic, petrographic, and sedimentological perspectives, based on field data collected from four geological sections across the study Sheet. These sections, from north to south, are: North Saqiyat Aramo NSA, Jabalaya Sheikh Hassan Jsh, Ain Lilon LL, and Qalaat Al-Mahalba QH. A total of 91 samples were collected for detailed petrographic analysis under the microscope.

Biostratigraphic studies enabled the specific refinement of the ages of the studied rock units and the delineation of boundaries between stratigraphic stages. They also revealed a stratigraphic gap represented by the absence of the *Globotruncanita elevata* zone, which characterizes the base of the Campanian.

Petrographic analysis showed that the formations consist of repetitive alternations of marly, calcareous-clayey, calcareous-phosphatic, and calcareous-dolomitized rocks. These include (clayey biopelmicrite, biosparite, partially dolomitized biopelmicrite, and phosphatic-glaucocitic biopelmicrosparite). Lithostratigraphic correlation clarified the facies variability and allowed for the reconstruction of spatial and temporal distribution patterns.

Sediment logical interpretation indicates that these formations were deposited in environments ranging from upper sub tidal settings at the base of the Thawrah Formation to calm, deeper open-marine conditions towards the top of the Starbeh Formation. These deposits represent regressive-transgressive sedimentary sequences within a basin subject to cyclic fluctuations in sea level.

Keywords: Sedimentation, Petrography, Biostratigraphy, Al-thawrah Formation, Starbeh Formation, Al-Haffah.



Copyright :Latakia University journal(Formerly Tishreen) -Syria, The authors retain the copyright under a CC BY-NC-SA 04

* Master Student- Department of Geology- Faculty of Science- Latakia University(Formerly Tishreen) – Latakia- Syria. ghaith.aldebiat@tishreen.edu.sy.

**Associate Professor-Department of Geology-Faculty of Science- Latakia University –Formerly Tishreen) -Latakia- Syria. samer.albub@tishreen.edu.sy

***Associate Professor-Department of Geology-Faculty of Science-Latakia University-(Formerly Tishreen)- Latakia- Syria.abdulkarim.alabdalla@tishreen.edu.sy.

دراسة ترسيبية وبيوستراتغرافية لتشكيلات الثورة واسترية في رقعة الحفة

غيث الدبيات*^{ID}

د. سامر الباب*

د. عبد الكريم العبد الله***

(تاریخ الإیادع/ 13 / 7 / 2025. قبیل للنشر في 18 / 9 / 2025)

ملخص □

تنتشر تشكيلات الثورة واسترية في الجزء المركزي لرقعة الحفة مقاييس 1:50000 من الشمال إلى الجنوب، مع غياب جزئي أو كلي لبعض طوابقهما، درست هذه التشكيلات في هذا البحث من النواحي البيوستراتغرافية، البترولوجية والترسيبية استناداً إلى المعطيات الحقلية لأربعة مقاطع جيولوجية مُنفَّذة في منطقة الدراسة، هي من الشمال إلى الجنوب: شمال ساقية عرامو NSA، جبلية الشيخ حسن Jsh، عين ليون LL وقلعة المهاية QH، حيث أخذت منها 91 عينة بهدف الدراسة المجهرية المُفصَّلة.

مكنت الدراسات البيوستراتغرافية من تدقيق أعمار الصخور المدروسة والحدود الفاصلة بين الطوابق، كما أظهرت وجود ثغرة ستراتغرافية متمثّلة باختفاء نطاق *Globotruncanita elevata* المُميّز لقاعدة الكامبانيان. كما بيّنت الدراسة البترولوجية لهذه التشكيلات أنها عن عبارة تناوبات متكررة من صخور مارلية، كلسية-غضارية، كلسية فوسفاتية وكلسية مدلّمة، مؤلّفة من (بيوبيلمكريت غضاري، بيوسباريت، بيوبلميكريت مدلّمت جزئياً، بيوبلمكريوسباريت فوسفاتي غلوكونيتي)، أدت مضاهاهاتها إلى توضيح الاختلافات السحنية واستنتاج أنماط توزّعها عبر الزمان والمكان. كما بيّنت الدراسة الترسيبية لهذه الصخور أنها ترسّبت ضمن بيئات تتراوح من الأجزاء العليا تحت المدية في قاعدة تشكيلة الثورة حتى البيئات العميقه المفتوحة الهايئه في نهاية تشكيلة استرية، ممثّلة بمتاليلات رسوبية انسحابية وتتجاوزية لحوض روسيي تعرض لتدبّبات دورية في منسوب مياه البحر.

الكلمات المفتاحية: ترسّيب، بترولوجيا، بيوستراتغرافيا، تشكيلة الثورة، تشكيلة استرية، الحفة.



حقوق النشر : مجلة جامعة اللاذقية (تشرين سابقاً) - سوريا، يحتفظ المؤلفون بحقوق النشر بموجب الترخيص CC BY-NC-SA 04

* طالب ماجستير - قسم الجيولوجيا - كلية العلوم - جامعة اللاذقية (تشرين سابقاً) - اللاذقية - سوريا

* أستاذ مساعد - قسم الجيولوجيا - كلية العلوم - جامعة اللاذقية (تشرين سابقاً) - اللاذقية - سوريا

** أستاذ مساعد - قسم الجيولوجيا - كلية العلوم - جامعة اللاذقية (تشرين سابقاً) - اللاذقية - سوريا

مقدمة:

تحظى التشكيلات الكريتاسية باهتمام كبير من قبل الباحثين نظراً لأهميتها النفطية، الهيدروجيولوجية وغناها بالخامات المعدنية، ولتكشّفها بشكلٍ واسع في سوريا خاصةً في وسطها وغربها، حيث تشغل 10% من مساحتها، كذلك تشغل رسوبات دور الكريتاسي ما يقارب 52% من الصخور المتكشفة في السلسلة الساحلية، بسماكةً أعظمية تصل إلى 1300 م لتوسيعاتها ضمن العمود الطبقي، وتتوسّع بحالة عدم توافق ستراتغرافي مباشرة فوق الصخور العائدة إلى الجوراسي الأسفل [1]. تتمثل صخور هذه التشكيلات بتناوبات من حجر كلسي، دولوميت ومارل حاوٍ على عقد صوانية والغضار، إضافةً إلى تداخلات من الفوسفات وعقد من الباريت. ويتّسع انتشار دور الكريتاسي في رقعة الحفة ليغطي تقرّباً 55% من مساحتها، متكشفاً في الجزء الشرقي والمركري منها [2]، وتشغل منطقة الدراسة تشكيلي الثورة واسترية من التشكيلات الكريتاسية، المتكشفتين في رقعة الحفة مقاييس 1:50000 الواقعه في الجزء الشمالي من السلسلة الساحلية، والممتدة على مساحة 625 كم²، بأبعاد (22.5×27.65) كم (الشكل 1) [3]، تتمّدّ بين الإحداثيات: 35° 30' 00" جنوباً و 45° 00' 00" شمالاً، 36° 36' 00" غرباً و 15° 15' 36" شرقاً.

أهمية البحث وأهدافه:

على الرغم من جميع الدراسات الجيولوجية التي نُفِّذت في السلسلة الساحلية، فإنَّ أياً من هذه الدراسات لم تقم بدراسة ترسيبية وبيوستراتغرافية مفصلة لطوابق السينونيان، وخصوصاً لطوابق السينونيان الأسفل، حيث أنه ممثّل في السلسلة الساحلية كوحدة واحدة على الخارطة دون تمييز بين طوابقه (الكونياسيان-السانتونيان-الكامبانيان)، معبر عنهم بتشكيله الثورة¹ K₆، وأيضاً السينونيان الأعلى (الماستريختيان) ممثّل بتشكيله استرية² K₆ على الخارطة دون التمييز فيه بين ماستريختيان أسفل وأعلى، لذلك لا بد من دراسة كل طابق وتمييزه عن الآخر، وتحديد أماكن فقدانه محلياً، ومن هنا تأتي أهمية البحث كونه يشكّل إضافة جديدة إلى بيانات أعمال المسح الجيولوجي، ويهدّف البحث إلى:

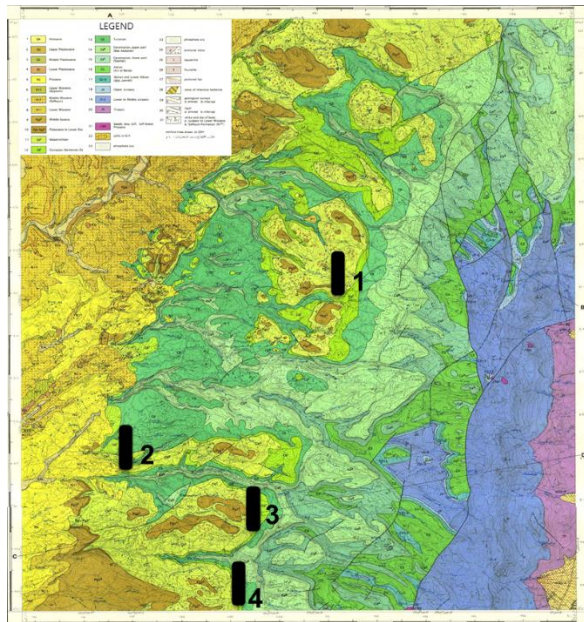
- 1- تحديد الخصائص البترولوجية لطوابق الكونياسيان، السانتونيان الكامبانيان والماستريختيان، ودراستها بيوجغرافية.
- 2- مضاهاة سخنية للطوابق الجيولوجية سعياً لاقتراح البيئات المسؤولة عن ترسيبها، ومن ثم الوصول إلى صيغة تعكس بالبيوجغرافية منطقة الدراسة.

طرائق البحث ومواده:

نُفِّذت في هذه الدراسة أربعة مقاطع جيولوجية من خلال القيام بأربعة جولات حقلية وهي من الشمال نحو الجنوب: مقطع شمال ساقية عرامو NSA، جبلايا الشيخ حسن Jsh، عين ليون LL وقلعة المهالة QH (الشكل 1). بلغت سماكة الصخور المدروسة في هذه المقاطع 362 متراً طولياً، ومنها تم سحب 91 عينة ممثلة لكافة التغيرات السخنية لهاتين التشكيلتين.

أنجزت الدراسات المخبرية المُنفَّذة على الصخور العائدة إلى تشكيلي الثورة واسترية في مخبر الدراسات العليا في قسم الجيولوجيا-كلية العلوم-جامعة اللاذقية، وفُسّمت إلى مرحلتين:

المرحلة الأولى: اهتمت بالدراسات البيوستراتغرافية، من خلال تحضير دراسة 42 عينة للدراسة المستحاثية وتحديد الأعمار بالاعتماد على المنحنيات الطافية بشكل أساسي. حضرت العينات الطيرية بالطرق التقليدية من تقطيت، نقع، غسيل، نخل وفرز ومن ثم دراستها.



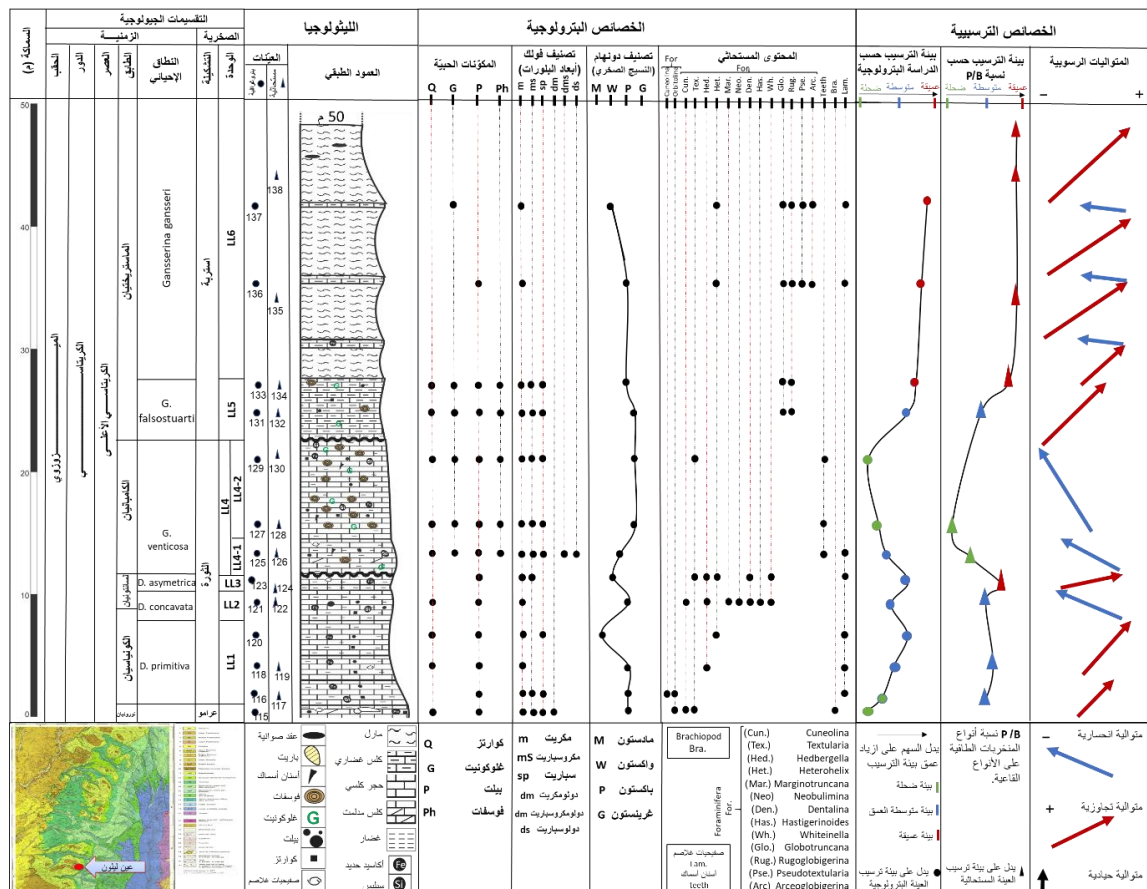
(الشكل 1): خارطة جيولوجية تبين موقع المقاطع المنجزة [3]

1-شمال ساقية عرامو (13 عينة بترографية و 12 مستحاثية). 2-جبلية الشيخ حسن (11 عينة بترографية و 11 مستحاثية). 3-عين ليون (13 عينة بترографية و 11 مستحاثية). 4-قلعة المهابة (12 بترографية و 8 مستحاثية).

في حين تم تحضير العينات المتوسطة القساوة والقاسية باستخدام حمض الأسيتيك التلجي (CH_3COOH glacial) [4-7]، وذلك وفق عدة خطوات: 1-تقطيع العينات الصخرية إلى أجزاء ميليمترية يتراوح قطرها بين 10-20 مم. 2-تسخين العينة الصخرية على طبق إلى درجة حرارة 100°C بهدف التخلص من الرطوبة الداخلية. 3-صب الحمض على العينة بعد تسخينها مباشرةً حتى غمرها، وتركها لتبرد بدرجة حرارة الغرفة 25°C. 4-تحريك العينة كل نصف ساعة. 5-غسيل العينة ووضعها في مناخل أقطار فتحاتها تتراوح على التوالي 0.1 مم و 0.5 مم، ومن ثم غسلها بالماء الجاري، بحيث أنها لا تحتاج إلى الكثير من المياه. وبعد القيام بعدة تجارب لمعرفة تركيز الحمض المناسب لهذه الصخور، كانت العينات غير المسخنة ذات درجة نقاء سيئة في أغلب الحالات، وكانت أفضل النتائج من حيث نقاء العينات المستحاثية وعدم أذينتها من الحمض، للصخور الكلسية الغضاروية متوسطة القساوة هي نسبة 90% من حمض الأسيتيك التلجي ومياه مقطرة 10%， لعينة مسخنة بدرجة حرارة 100°C و زمن نقع 3 ساعات، في حين احتاجت الصخور الكلسية المدلمنة القاسية لزمن نقع 6 ساعات.

بعد تحضير العينات تم باستخدام المكورة نوع (Olympus) ذات القدرة التكبيرية $45\times$ ، تحديد الأجناس والأنواع من خلال ملاحظة أهم الصفات التي تميز كل جنس أو نوع عن غيره بمقابلتها مع المراجع المعتمدة عالمياً [8-9] وبعض الدراسات المحلية [10]، وبالتالي تم تحديد الأعمار البيوستراتغرافية التي تعود إليها الصخور المدروسة ومن ثم تحديد نسبة المنحنيات الطافية على القاعية لما لها أهمية في بيانات الترسيب.

اختصت المرحلة الثانية بالدراسة البترولوجية، حيث حضرت 49 شريحة مجهرية مقتطعة من عينات صخرية قاسية، ودرستها باستخدام مجهر استقطابي (SCOMP-35)، بعد تلوين بعضها بمادة أحمر الأليزارين لتمييز الكلس عن الدولوميت [11]. شملت هذه الدراسة الخصائص السحقية والنسيجية والتي تعتمد الطريقة التالية في وصف الشرائح المجهرية (تحديد المكونات الحبيبة (عضوية أو لا عضوية) والمادة اللاحمة ونسبة كل منها [12]، تصنيف دونهام [13]، تصنيف فولك [14]، وتحديد الطواهر الدياجينيزية [15]). ومن ثم تحديد الطبيعة الليثولوجية للسخنات واستنتاج التطور السحيقي المتوالي للأجسام الرسوبيّة المكونة للطوابق المدروسة. جُمعت النتائج التي تم التوصل إليها وُنظمت في لوحات تطور شاقولية تعكس معطيات الدراسة البترولوجية والترسيبية (الشكل 2).



(الشكل 2): لوحة التطور الشاقولي، لقطع عن لبلون المرحوم، في منطقة الدراسة.

النتائج والمناقشة:

1- المضاهاة:

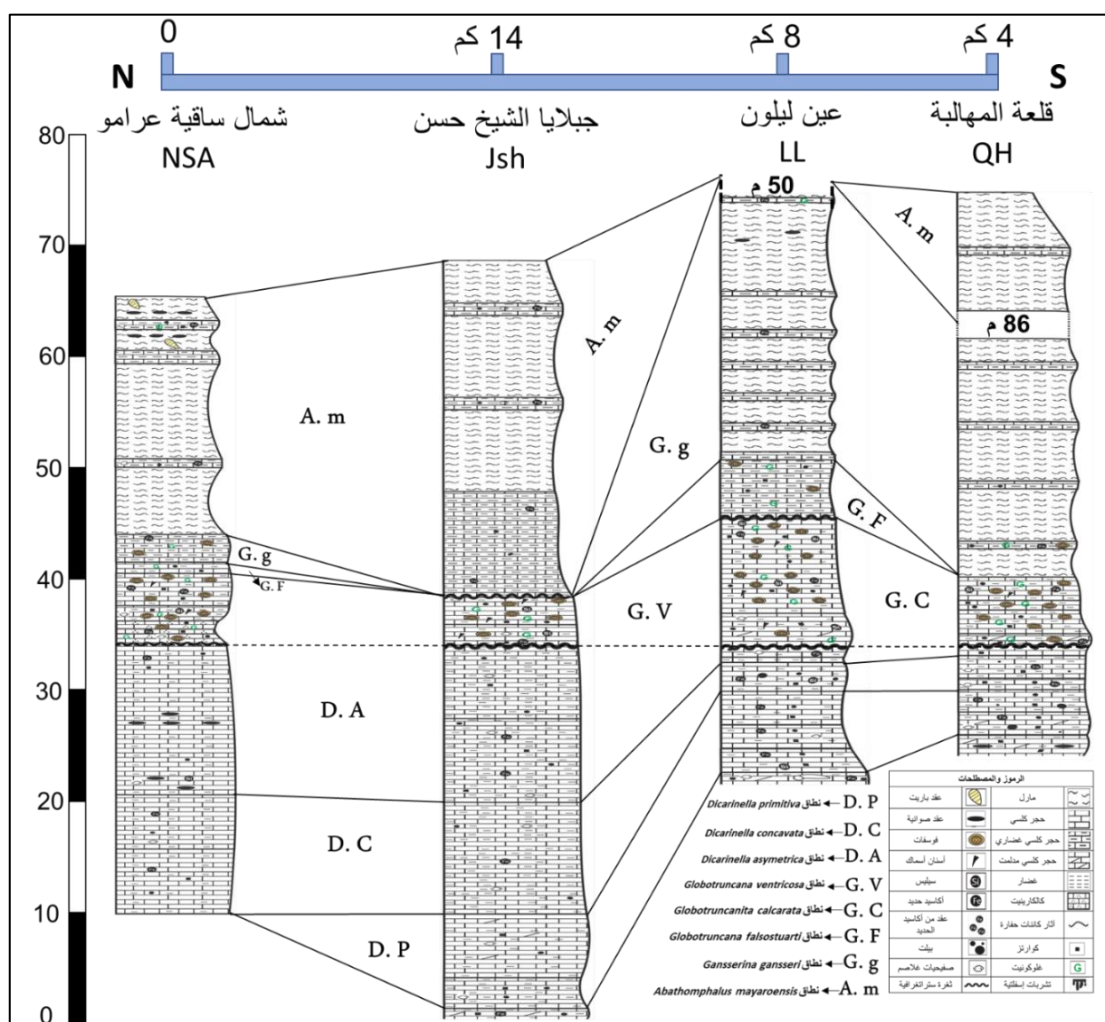
تم تقسيم صخور المقاطع المدروسة إلى وحدات وتحت وحدات أحياناً حسب الاختلافات السخنية، ومضاهاتها على امتداد منطقة الدراسة حسب تواجدها ضمن النطاقات الإحيائية التابعة للطوابق الجيولوجية المدروسة المقسمة حسب [16]، ولوحظ بعض هذه النطاقات يكتشف في جميع المقاطع وبعضها الآخر في مقطع واحد (الشكل 3)، كما تبين غياب نطاق *Globotruncanita elevata* الذي يمثل قاعدة الكامبانيان في كافة المقاطع المدروسة، وهذا النطاق يعتبر نطاق حدي بين طابقي السانتونيان والكامبانيان. كما اعتمد السطح العلوي لطابق الكونيسيان الأعلى حداً مرجعياً (الشكل 4).

A	النطاق الإحيائي	المقطع	شمال ساقية عرامو	جباليا الشيخ حسن	عين ليلون	قلعة المهاية
الجزء العلوي من الماستريختيان الأعلى	<i>Abathomphalus Mayaroensis</i>	22.5 م	30 م	-	40 م	
الجزء العلوي من الماستريختيان الأعلى	<i>Gansseri Gansserina</i>	2.5 م	-	75 م	80 م	
الماستريختيان الأسفل	<i>Globotruncana falsostuarti</i>	1 م	-	4.5 م	-	
الجزء العلوي من الكامبانيان الأعلى	<i>Globotruncanita Calcarata</i>	-	-	-	6 م	
الجزء العلوي من الكامبانيان الأدنى - الكامبانيان الأعلى -	<i>Globotruncana Ventricosa</i>	6.2 م	4.5 م	11 م	-	
السانتونيان الأعلى	<i>Dicarinella Asymetrica</i>	14 م	15 م	1.1 م	1 م	
- الكونيسينيان الأسفل	<i>Dicarinella Concavata</i>	11 م	10.5 م	2.5 م	4 م	
الكونيسينيان الأسفل	<i>Dicarinella Primitiva</i>	-	9 م	7 م	4 م	

B	النطاق	المقطع	شمال ساقية عرامو	جباليا الشيخ حسن	عين ليلون	قلعة المهاية
الماستريختيان		26 م	30 م	79.5 م	120 م	
الكامبانيان		6.2 م	4.5 م	11 م	6 م	
السانتونيان		19.5 م	20 م	2.5 م	3 م	
الكونيسينيان		5.5 م	14 م	8 م	6 م	

C	التشكلة	المقطع	شمال ساقية عرامو	جباليا الشيخ حسن	عين ليلون	قلعة المهاية
استرية		26 م	30 م	79.5 م	120 م	
الثورة		31.2 م	38.5 م	21.5 م	16 م	

(الشكل 3): (A) سمكة النطاقات الإحيائية. (B) الطوابق الجيولوجية. (C) التشكيلات الصخرية في المقاطع المدروسة.



(الشكل 4): مضاهاة النطاقات الإحيائية وتقسيماتها واختلافاتها السجنية في منطقة الدراسة.

1-1-تشكيله الثورة:

تم تمييز خمس نطاقات إحيائية ضمن صخور هذه التشكيلة، وُعُثر على معقد مستحاثي من المنخربات الطافية والقاعية، وُجُمعت الأنواع الدالة منها في (اللوحة I):

1-1-1-نطاق *Dicarinella primitiva* (الكونياسيان الأدنى والجزء السفلي من الكونياسيان الأعلى):

تكتشف صخور هذا النطاق في جميع المقاطع ماعدا مقطع شمال ساقية عرامو، وُعُثر على الأنواع التالية من المنخربات الطافية التالية:

Dicarinella primitiva (DALBIEZ), *Marginotruncana coronata* (BOLLI), *M. renzi* (GANDOLFI), *M. sigali* (REICHEL), *M. pseudolinneiana* (PESSAGNO), *M. sinuosa* porthault, *Hedbergella simplex* MORROW, *H. flandrini* DONZE, *Heterohelix globulosa* (ehrenberg), *H. rumsyensis* DOUGLAS, *Whiteinella baltica* DOUGLAS & RANKIN.

ومن المنخربات القاعية عُثر على *Lenticulina spissocostata* (CUSHMAN), *Anomalina* sp. تتشابه الموصفات السحرية لصخور هذا النطاق، حيث تتمثل الوحدة الأولى والثانية في مقطع جبلياً الشيخ حسن بطبقات ديسيمترية ذات سحنات من البلاستون المؤلف من بيوبلمكريت غضاري المدللت جزئياً، كما يحوي على جنس *Orbitoides* بغزارة بالإضافة إلى منخربات قاعية أخرى وطافية بكميات أقل، ويعاون الوحدة الأولى في مقطع عين ليون بطبقات ديسيمترية مكونة من بيوبلمكريت غضاري حاوٍ بشكل رئيس على *Cuneolina parva* *Orbitoides* بالإضافة إلى قاعيات أخرى وبعض الأنواع الطافية بنسب قليلة وبصفة الصخر بأنه واكتون، أما في مقطع قلعة المهاة ف تكون الطبقات الديسيمترية في الوحدة الأولى عبارة عن بلاستون مؤلف من بيوبلمكريت غضاري معرض لعملية دلتة جزئية، كما يحوي على غاستروبودا ومنخربات طافية وقاعية بنسبة 10%， بالإضافة إلى بقع من أكاسيد الحديد.

1-1-2-نطاق *Dicarinella concavata* (الجزء العلوي من الكونياسيان حتى قاعدة السانتونيان):

يتكتشف هذا النطاق في جميع المقاطع المنجزة، وُعُثر على الأنواع التالية من المنخربات الطافية:

Dicarinella primitiva (DALBIEZ). *D. concavata* (BROTZEN), *Archaeoglobigerina cretacea* (D'ORBIGNY), *Hedbergella simplex* MORROW, *H. flandrini* DONZE, *Heterohelix globulosa* (ehrenberg), *H. rumsyensis* DOUGLAS, *Marginotruncana coronata* (BOLLI), *M. renzi* (GANDOLFI), *M. sigali* REICHEL, *M. undulata* (LEHMANN), *M. schneegansi* (SIGAL).

ومن المنخربات القاعية:

Lenticulina spissocostata (CUSHMAN), *Cavelinella nacatochensis* (CUSHMAN), *Textularia* sp., *Anomalina* sp., *Cavelinella* sp.

تشابه الموصفات السحرية لصخور هذا النطاق مع بعض الاختلافات في نسب المكونات وتصنيف الصخر، حيث يمثل الوحدة الأولى في مقطع شمال ساقية عرامو التي تتألف بذاتها من طبقات ديسيمترية ذات سحنات واكتون مكونة من بيوبلمكريت غضاري ذي منخربات طافية، بينما يقابل هذا النطاق في مقطع جبلياً الشيخ حسن الوحدة الثالثة ممثلة بطبقات سنتيمترية من المادستون المؤلف من غضار بيوبلمكريتي، بينما تسود في مقطع عين ليون السحنات البيوبلمكريتية الغضارية الحاوية على منخربات طافية أكثر من القاعية التابعة للوحدة الثانية، في حين يقابل الوحدة الثانية في مقطع قلعة المهاة؛ وهي عبارة عن طبقات ديسيمترية من بيوبلمكريت غضاري حاوٍ على صفيحيات غلاصم، غاستروبودا، ومنخربات طافية بغزارة.

1-3-نطاق *Dicarinella asymetrica* (الجزء العلوي لطابق السانتونيان):

يتكشف صخوره في جميع المقاطع، وعُثر على الأنواع التالية من المنخربات الطافية:

Dicarinella asymetrica (SIGAL), *D. concavata* (BROTZEN), *Archaeoglobigerina cretacea* (D' ORBIGNY), *Hedbergella simplex* MORROW, *Heterohelix globulosa* (ehrenberg), *H. rumsyensis* DOUGLAS, *Marginotruncana coronata* (BOLLI), *M. renzi* (GANDOLFI), *M. sinuosa* PORTHAULT, *M. angusticarinata* (GANDOLFI), *Rosita fornicata* (PLUMMER).

ومن المنخربات القاعية عُثر على:

Lenticulina spissocotata (CUSHMAN), *Lenticulina* sp. *Cavelinella nacatochensis* (CUSHMAN), *Cavelinella* sp., *Saracenaria triangularis* (D'ORBIGNY), *Anomalina* sp.

يقابل هذا النطاق الوحدة الثانية في مقطع شمال ساقية عرامو، وهي على شكل جدار كليسي حاوٍ على عقد صوانية، مؤلف من مادستون بيوبلمكريتي غضاري، ويقابل الوحدة الرابعة في مقطع جبلايا الشيخ حسن، المكونة من باكتون مؤلف من بيوبلمكريت غضاري حاوٍ على منخربات قاعية وأستراكودا، بالإضافة إلى بقع أكاسيد الحديد، بينما يقابل الوحدة الثالثة في مقطع عين ليلون وهي عبارة عن بيوبلمكريت غضاري حاوٍ على منخربات طافية أكثر من القاعية مع قليل من أكاسيد الحديد. تستمر السحنة البيوبلمكريتية الغضارية الحاوية على منخربات طافية في الوحدة الثالثة في مقطع قلعة المهاية.

1-4-نطاق *Globotruncana ventricosa* (الجزء العلوي من الكامبانيان الأدنى حتى قاعدة الكامبانيان الأعلى):

يتكشف هذا النطاق في جميع المقاطع ما عدا مقطع قلعة المهاية، عُثر على الأنواع الطافية التالية: *Globotruncana ventricosa* WHITE, *Globotruncana* sp., *Globotruncanita elevata* CF, *Globotruncanita* sp.

ومن المنخربات القاعية:

يقابل هذا النطاق الوحدتين الثالثة والرابعة في مقطع شمال ساقية عرامو، حيث تتتألف سحنة الوحدة الثالثة من كالكارينيت (رمال كليسي)، في حين تتتألف الوحدة الرابعة من سحنة مكريتية وسبارينيتية غنية بالفوسفات والغلوكونيت مع أسنان الأسماك المسيلسة وأكاسيد الحديد، بالإضافة إلى حبات البيليت الفوسفاتي ومنخربات القاعية أكثر من الطافية. كما يقابل هذا النطاق الوحدة الخامسة في مقطع جبلايا الشيخ حسن، والوحدة الرابعة في مقطع عين ليلون، تتشابه سحناتها مع سحنة الوحدة الرابعة في مقطع شمال ساقية عرامو. كما تزداد نسبة الحبات الفوسفاتية والغلوكونيتية شاقولياً كلما تجهازنا نحو قمة هذا النطاق في جميع المقاطع، وتزداد أفقياً من الشمال باتجاه الجنوب.

1-5-نطاق *Globotruncanita calcarata* (يتمثل الجزء العلوي من طابق الكامبانيان الأعلى):

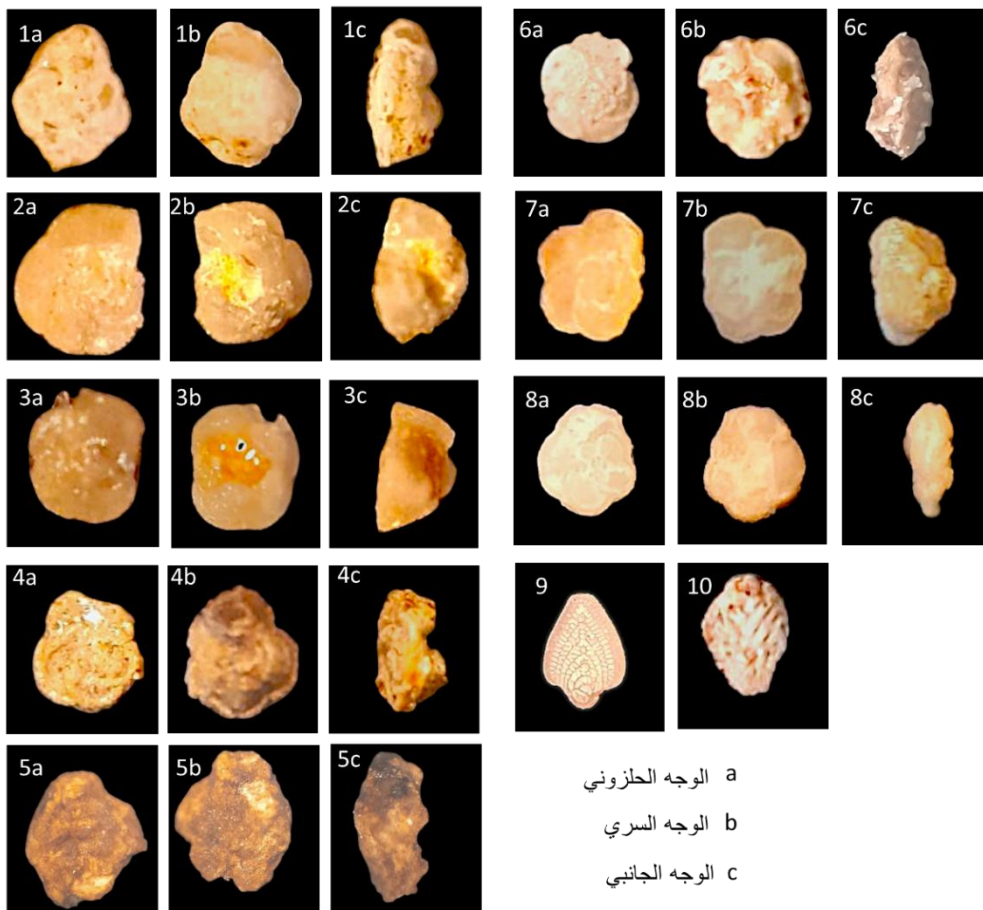
يتكشف هذا النطاق في مقطع قلعة المهاية فقط، وعُثر من المنخربات الطافية على: *Globotruncana calcarata* (CUSHMAN).

ومن المنخربات القاعية:

يقابل هذا النطاق الوحدة الرابعة في مقطع قلعة المهاية، وتكون مؤلفة من سحنات غرينستون مؤلف من بيوبلمكريت وسبارينيت غلوكونيت حاوٍ على أسنان أسماك، عضديات أرجل ومنخربات قاعية أكثر من الطافية. تم تفسير الثغرة стрاتيغرافية المتمثلة بغياب نطاق *Globotruncanita elevata* الممثل لقاعدة الكامبانيان في كافة المقاطع المدروسة، وتكشف نطاق *Globotruncanita calcarata* العائد إلى الجزء العلوي من الكامبانيان الأعلى فقط في مقطع قلعة المهاية، بناءً على عاملين رئيسيين:

1- التأثير التكتوني: تمثل بالفالق العادي المرافق للرسيب المرافق للإجهاد الشدي، والتي أدت إلى اختفاء الطبقات وتغير في ثخاناتها [17-18].

2- الكامبانيان يتمثل بزمرة رسوبية انسحابية، تسبب ذلك في ترسيب محدود في المناطق المنخفضة وعمليات حتى نشطة في المناطق المرتفعة التي تعرضت للتعرية بسبب انحسار البحر.



(اللوحة I): أنواع المنخربات الطافية والقاعية الدالة في المقاطع المدرسة.

1- *Dicarinella primitiva*, 2- *D. concavata*, 3- *D. asymmetrica*, 4- *Globotruncana ventricosa*, 5- *G. calcarata*, 6- *G. falsostuarti*, 7- *Gansserina gansseri*, 8- *Abathomphalus mayaroensis*, 9- *Neoflabellina rectulata*, 10- *Bolivinoides draco draco*.

1- تشکیل استریہ:

تم تبییز ثلاثة نطاقات إحيائیة ضمن صخور هذه التشكیل، وعُثر على معقد مستحاثی من المنخربات الطافية والقاعیة، وجُمعت الأنواع الدالة منها في (اللوحة I):

1-2-1- نطاق *Globotruncana falsostuarti* (الماستریختیان الأسفل):

يغیب هذا النطاق في مقطعی جبلیا الشیخ حسن وقلعة المھالبة، وعُثر على الأنواع الطافية التالیة: *Globotruncana falsostuarti* SIGAL, *G. arca* (MARIE), *G. ventricosa* WHITE, *G. aegyptiaca* NAKKADY, *G. linneiana* (D' ORBIGNY), *G. lapparenti* BROTZEN, *Rugoglobigerina rugosa* (CUSHMAN), *Globotruncanita stuartiformis* DALBEIZ.

ومن المنخربات القاعیة:

Bolivinoides draco draco (MARSSON), *Gyroidinoides* sp., *Neoflabellina* sp.

يقابل هذا النطاق الوحدة الخامسة في مقطع شمال ساقية عرامو، مؤلفة من طبقات سنتيمترية من سحنات الباكتستون المكون من بيوبلمكريت غضاري حاوٍ على بعض حبات من الغلوكونيت، عضديات أرجل، منخرات طافية قليلة، وقاعية بغزارة، ويقابل الوحدة الخامسة في مقطع عين ليلون مكونة من تطبقات سنتيمترية من سحنة باكتستون مؤلف من بيوبلمكريت غضاري مسيليس قليلاً، حاوٍ على حبات نادرة من الغلوكونيت، بقايا أشنيات، صفيحيات غلاصم ومنخرات طافية.

1-2-2-نطاق *Gansserina gansseri* (الجزء السفلي من الماستريختيان الأعلى):

يتكشف في جميع المقاطع مادعا مقطع جبلية الشيخ حسن، وعُثر على الأنواع التالية من المنخرات الطافية: *Gansserina gansseri* (BOLLI), *Globotruncana linneiana* (D' ORBIGNY), *G. bulloides* VOGLER, *G. ventricosa* WHITE, *G. lapparenti* BROTZEN, *G. falsostuarti* SIGAL, *G. aegyptiaca* NAKKADY, *G. arca* (MARIE), *Globotruncanita stuarti* (DELAPPRENT), *G. stuartiformis* DALBEIZ, *Rugoglobigerina rugosa* (CUSHMAN), *R. scotti* BRONNIMANN.

ومن المنخرات القاعية:

Bolivinoides draco draco (MARSSON), *B. incrassata* WICHER, *Neoflabellina rectulata* (REUSS), *N. jarvisi* (CUSHMAN).

يقابل الوحدة السادسة في مقطع شمال ساقية عرامو المكونة من تطبقات ديسيمترية من باكتستون مؤلف من بيوبلمكريت غضاري، حاوٍ على حبات فوسفاتية، صفيحيات الغلاصم، بقع من أكاسيد الحديد بالإضافة إلى الغلوكونيت. بينما في باقي المقاطع تتشابه السحن المموافقة لهذا النطاق ويقابل، الوحدة السادسة في مقطع عين ليلون، الجزء السفلي من الوحدة الخامسة في مقطع قلعة المهاية، وهي عبارة عن تطبقات سنتيمترية إلى ديسيمترية من سحنات الباكتستون المؤلف من بيوبلمكريت غضاري، غني بالمنخرات الطافية، بالإضافة إلى حبات نادرة من الغلوكونيت.

1-2-3-نطاق *Abathomphalus mayaroensis* (الجزء العلوي من الماستريختيان الأعلى):

يتكشف هذا النطاق في جميع المقاطع مادعا مقطع عين ليلون، وعُثر على الأنواع التالية من المنخرات الطافية: *Abathomphalus mayaroensis* (BOLLI), *Gansserina gansseri* (BOLLI), *Globotruncana ventricosa* WHITE, *G. lapparenti* BROTZEN, *G. falsostuarti* SIGAL, *G. arca* (MARIE), *Globotruncanita conica* WHITE, *GT. stuarti* (DELAPPRENT), *Pseudoguembelina excolata* (CUSHMAN).

ومن المنخرات القاعية:

Bolivinoides draco draco (MARSSON), *B. incrassata* WICHER, *Neoflabellina rectulata* (REUSS), *N. jarvisi* (CUSHMAN).

تشابه سحنات هذا النطاق في جميع المقاطع وهي متشابهة تماماً لنطاق *Gansserina gansseri*، حيث يقابل الوحدة السابعة في مقطع شمال ساقية عرامو، الوحدة السادسة في مقطع جبلية الشيخ حسن والجزء الأعلى من الوحدة الخامسة في مقطع قلعة المهاية وهي مؤلفة من تطبقات سنتيمترية إلى ديسيمترية من بيوبلمكريت غضاري، غني بالمنخرات الطافية.

2-أنماط السحن الرئيسية وبيئات ترسيبها:

مكنت المشاهدات الحقلية والدراسات المخبرية من تحديد سعة انتشار الصخور العائدة إلى تشكيلاتي الثورة واسترية، سماكاتها وبنياتها الرسوبيّة، والتعرف على محتواها المستحاثي وخصائصها البترولوجية (المكونات الحبيبة وطبيعة المادة اللاhmaة) واختلافاتها السحنية الشاقولية والجانبية على امتداد منطقة الدراسة، كما تم استنتاج بيئات الترسيب الملائمة

لتوضيعات السحنات الرسوبيّة المكونة للتشكيلاتين. وفيما يلي وصف لهذه السحنات حسب نسبة تكتّفها، حيث توضّح (اللوحة II) الأنماط النموذجية لهذه السحنات:

1-2-السحنات المارلية: تشكّل هذه الصخور 40% من رسوبات التشكيلاتين المدروستين، حيث تعتبر الأكثر انتشاراً والأكثر سماكة في العمود الطبقي الممثل لمنطقة الدراسة، وتتوارد في كافة المقاطع المنفذة، وتقابل الوحدات التالية: NSA7، QH5 و LL6، Jsh6-2. تمثل هذه السحنات بتتاوبات سنتيمترية متورقة، بيضاء اللون، طرية، وحاوية على عقد من الباريت والصوان في (NSA7 و QH5). مؤلفة من بيوبلمكريت غضارى (مادستون إلى باكتون)، حاوٍ على *Globotruncana*، *Arceoglobigerina*، *Pseudotextularia*، *Heterohelix*) أجناس

(*Rosita*، *Rugogloigerina*، *Pseudoguembellina*، *Neoflabellina*)، كما نلاحظ تعرّض بعض هياكل المستحثاثات لعملية الأكسدة، وحاوٍ أيضاً على حبات نادرة من الغلوكونيت، يجمع بين هذه المكونات أرضية مكريتية غضارىة. تتمتّع هذه الصخور في بعض المواقع بمسامية اتحاللية قاليّة ناتجة عن انحلال الهياكل المستحثاثة. تعكس هذه السحنات ترسيباً منتظماً في بيئات بحرية هادئة، مستقرة ذات مياه حرة الحركة ضمن الأجزاء العميقه من البيئات تحت مدية (Subtidal) بعيداً عن تأثير حركات المد والجزر، يدعم هذا الافتراض نسبة المنخربات الطافية B/P التي تتجاوز 95%. توضّح (اللوحة II في الرقم 6) شريحة نموذجية لهذه السحنة.

2-2-السحنة الكلسيّة-الغضاريّة: تأتي هذه السحنات في المرتبة الثانية من حيث الأهمية حيث تشكّل 34% من سحن التشكيلاتين المدروستين، وتنتشر في كافة المقاطع، تظهر على هيئة جدر قاسيّة أو تطبّقات متّرية إلى ديسيمترية وأحياناً على شكل تطبّقات سنتيمترية بيئية، وتقسم إلى أربع تحت سحن:

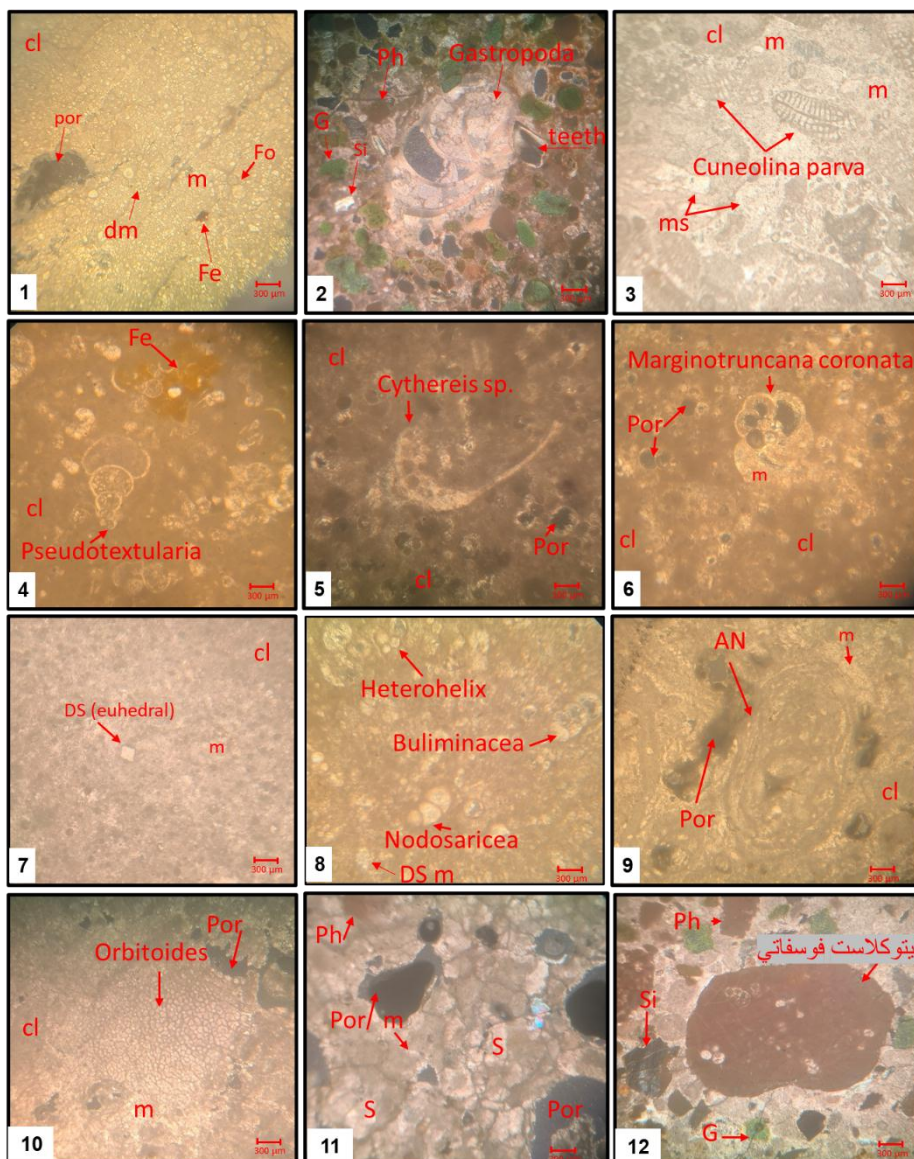
أ-تحت السحنة الكلسيّة-الغضاريّة المترسبة على شكل أرضية: تشغّل 40% من السحنة الرئيسيّة وتتوارد في مقطعي شمال ساقية عرامو وجبلايا الشيخ حسن، وتقابل الوحدات التالية: NSA1، NSA2، Jsh3. مؤلفة من مكريت غضارى (مادستون)، حاوٍ بقع متقرقة من أكاسيد الحديد، كما نلاحظ بأن الصخر حاوٍ على مسامات نتائج تعرّضه لعمليات الانحلال. ويسود هذه السحنة ترسيب في وسط مائي شبه عميق وذي طاقة محدودة ويندرج ضمن الأجزاء العميقه من الرصيف القاري أي الأجزاء العميقه من البيئات تحت مدية (Subtidal). وهذه البيئة تتوافق مع نسبة المنخربات الطافية إلى القاعية B/P التي تصل حتى 70%. توضّح (اللوحة II في الرقم 7) شريحة نموذجية لهذه السحنة.

ب-تحت السحنة الكلسيّة العضويّة-الغضاريّة ذات المنخربات القاعية: تشغّل 33% من السحنة الرئيسيّة وتتوارد في مقاطع شمال ساقية عرامو، جبلايا الشيخ حسن وعين ليون، وتقابل الوحدات التالية: NSA5، Jsh1، Jsh4، LL1. مؤلفة من بيوكمروسباريت غضارى (باكتون إلى غرينستون)؛ حاوٍ على منخربات قاعية من الأجناس (*Alveolina*، *Orbitolina*، *Cuneolina parva*، *Neobulimina*، *Dentalina*، *Textularia*، *Orbitoides*)، *Whitenella*) وفوق الفصيلة (*Buliminacea*). وينسب أقل أجناس من المنخربات الطافية (*Bulmina*)، بالإضافة لاحتوائه على أوستراكودا، صفيحيات غلاصم بعضها مسيلس، غاستروبيودا، الكوارتز، بقع من أكاسيد الحديد. كما نلاحظ تعرّض بعض الهياكل المستحثاثة لإعادة التبلور بالمكريت والمكمروسباريت. جميع هذه المكونات تدل على ترسيب في وسط قليل العمق ضمن الجزء الأعلى من الرصيف القاري أي الجزء الأعلى من البيئات تحت المدية (Subtidal). وهذا يتوافق مع نسبة B/P التي تصل حتى 40%. توضّح (اللوحة II في الأرقام 3، 5، 6، 9، 10) بعض الشرائح النموذجية لهذه السحنة.

ت-تحت السحنة الكلسية العضوية-الغضارية ذات المنخربات الطافية: تشغل 27% من السحنة الرئيسية، وتتوارد على شكل تطبات سنتيمترية إلى ديسيمترية في مقاطع جبلايا الشيخ حسن وعين ليلون، وتنقابل الوحدات التالية: Jsh6-1، LL2، LL3، QH2، QH3. وتتوارد أيضاً على شكل سوبات بيئية ضمن السحنات المارلية، مؤلفة من بيوبلميكريت غضاري (واكسن إلى باكسنون)؛ حاوٍ على منخربات الطافية التالية (*Marginotruncana*) والقاعدية بنسن أقل منها جنس (*Textularia*) وأجناس من فوق فصيلة *Nodosaricea*، بالإضافة إلى حبات نادرة الغلوكونيت. جميع هذه المكونات تعكس ترسيباً بيوكيميائياً ضمن وسط هادئ في بيئة بحرية عميقه شبه مفتوحة في الجزء العميق من الرصيف القاري (Subtidal). يدعم هذا الاقتراح نسبة B/P التي تكون أكبر من 70%. توضح (اللوحة II في الأرقام 8,4) شريحة نموذجية لهذه السحنة.

2-3-السحنات الكلسية الدولوميتية: تأتي هذه السحنات في المرتبة الثالثة من حيث الأهمية، وتشكل 15% تقريباً من العمود الطيفي الممثل لرسوبات التشكيلتين المدروستين في خارطة الحفة وتنشر في كافة المقاطع المنفذة ما عدا مقطع جبلايا الشيخ حسن، تظهر على هيئة جدر قاسية، أو على شكل تطبات ديسيمترية، أمكن تمييز تحت سحنتين مختلفتين في البنية والتركيب:

أ-تحت السحنة الكلسية العضوية-المدلمنة الغضارية: تشغل 60% من السحنة الرئيسية، تتوارد في مقطع جبلايا الشيخ حسن وقلعة المهاية، وتنقابل الوحدات التالية: Jsh2، QH1. مؤلفة من بيوبلمكروسباريت غضاري (باكسنون إلى غرينستون) مدللت جزئياً مشكلاً بلورات من الدولومكريت والدولومباريت نوع Anhedral وEuhedral، كما يحوي صفيحيات غلاصم، غاستروبودا، ومن المنخربات الطافية حاوٍ على (*Globotruncana*، *Heterohelix*)، بالإضافة إلى *Cuneolina parva*، *Bolivinoides*، *Textularia*، *Cavelinella*، وعلى المنخربات القاعدية (اللوحة II في الأرقام 7,1) شريحة نموذجية لهذه السحنة.



(اللوحة II): عينات من السحنات المكتشفة ضمن الطوابق المدروسة.

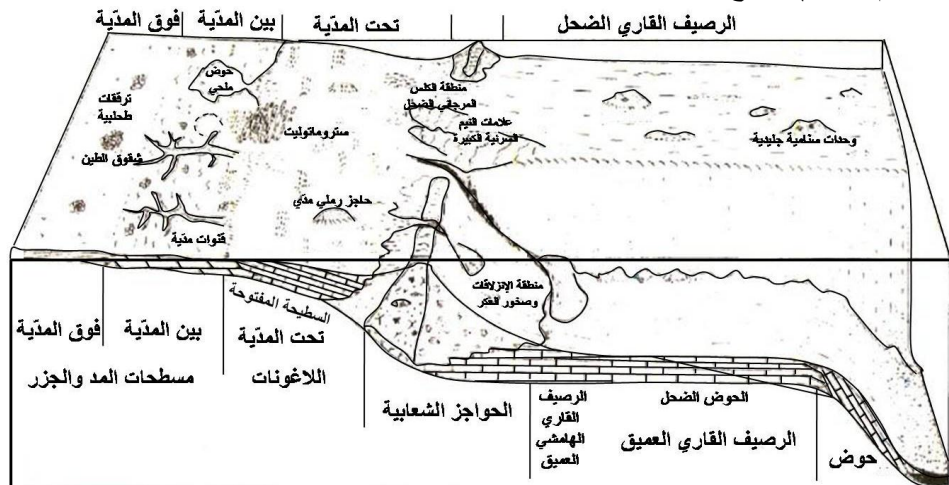
1-بيومكريت مدللت جزئياً. 2-بيولمكروسباريت فوسفاتي غلوكونيت. 3-بيومكروسباريت غضاري ذي منخربات قاعية. 4-بيولمكريت غضاري. 5-غضار ببيولمكريتي. 7-بيومكريت مدللت جزئياً على شكل أرضية. 6، 9، 10-بيولمكريت غضاري ذي منخربات قاعية. 8-بيومكريت غضاري ذي منخربات طافية. 11-بيوكلاست (الكاربونيت). 12-بيوسباريت فوسفاتي غلوكونيت. المكونات: cl: غضار، p: بيليت، por: أكسيد حديد، Fe: بيليت، m: فراغات، S: مكريت، DS: دولومكريت، DS m: دولوسباريت، ph: فوسفات، G: غلوكونيت، Si: سيليس، teeth: أسنان أسماك، AN: أنكوليت، Fo: منخربات غير محددة.

ب-تحت السحنة الكلسية الفوسفاتية المدلمنتة: تشغّل 40% من السحنة الرئيسية، تتواجد في مقاطع عين ليون وقلعة المهابة، وتقابل تحت الوحدات التالية: QH4-1، LL4-1، غرينستون (بالإنجليزية: Greenstone)، مؤلفة من ببيولمكروسباريت غضاري (باكتستون إلى غرينستون) مدللت جزئياً مشكلة بلورات من الدولومكريت والدولومكروسباريت من نوع Euhedral و Anhedral، مع وجود نسب قليلة من الفوسفات، أسنان أسماك مسيلسة، صفيحيات غلاصم، الغلوكونيت والكورنر. تعكس هذه

السحنات ترسيبياً بيوكيميائياً في وسط ضحل وذي طاقة عالية وذلك نظراً لوجود الكوارتز، البيوكلاست والمنخربات القاعية بنسب أعلى من الطافية بالإضافة لحوادث الدلتة مبكرة للمادة المكريتية، فإن نعومة بلورات الدولوميت في غالب الوحدات وجود بعض هياكل المستحاثات المعرضة للدلتة تدل على أن حادثة الدلتة هي من النمط الدياجينيزي الناتج عن عملية دلتة مبكرة، حيث يمكن اقتراح توضع هذه السحنات ضمن بيئه مدية إلى فوق مدية (Enter-Supratidal). بينما تلك السويات الحاوية على بلورات من الدولوميت ذات أوجه تبلور واضحة من نوع Euhedral فهي ناتجة عن عمليات دياجينيزية أيضاً بتتوفر نسبة كافية من Mg^{+2} في بيئه بحرية مالحة قليلة الانفتاح.

2-4-السخنات الكلسية الفوسفاتية: تأتي هذه السخنات في المرتبة الرابعة من حيث الأهمية، وتشكل 10% تقريباً

من العمود الطبقي، وتقابل الوحدات التالية: QH4-2، LL4-2، Jsh5، NSA6، NSA4، سنتيمترية وديسيمترية من بيومكروسباريت غضاري (باكتون إلى غرينستون)، رمادي مخضر إلى أسود قاتم وأحياناً فاتح اللون، متوسط القساوة إلى قاسي، غني بحبات من الفوسفات والغلوكونيت، بنسبة تصل إلى 70 % في بعض المستويات، وحاوٍ على أسنان أسماك المعرضة للسليسة، غاستروبودا، ومن المنحنيات القاعية (*Textularia*، *Cavelinella*، *Lentalina*)، مع حبات من البيليت الفوسفاتي ونادرأ حبات من الكوارتز، يجمع بينها ملاط سباريتي. تتمتع هذه الصخور بمسامية انحلالية فجوية ناتجة عن انحلال الحبات العضوية والفوسفاتية، وتحوي شوائب أكسيد الحديد. تعكس هذه السحنات ترسيباً غير مستقر في وسط عالي النشاط ضمن البيئات الضحلة القريبة من الشاطئ (الشكل 5). وهذا يتواافق مع نسبة المنحنيات الطافية على القاعية P/B التي تصل حتى 30 %. توضح (اللوحة II في الأرقام 12,1) شرائح نموذجية لهذه السحنة.



الشكل (5): مخطط توضيحي عام لبيئات الترسيب البحريّة [19].

2-5-السخنات الرملية الكلسية (الكارينيتية): تحمل المرتبة الخامسة من حيث الأهمية، وتشكل 1% تقريباً من

العمود الطبقي الممثل لرسوبات التشكيلتين المدروستين في خارطة الحفة وتنشر في مقطع شمال ساقية عرامو فقط، وتنقابل الوحدة NSA3، مؤلفة من بيوسباريت (كريستالين كلسي) جيد الفرز من حل مشكلاً مسامية بين بلورية، حاوٍ على نسب قليلة من الفوسفات، صفيحيات الغلاصم، وقع من أكاسيد الحديد. جميع هذه المكونات تدل على وسط عالي النشاط ضحل قريب من القارة ضمن البيئات المدية (Intertidal). توضح (اللوحة II في الرقم 11) شريحة نموذجية لهذه السحنة.

3- التطور الترسبي والباليوجغرافي:

مكنت التطورات الترسيبية، البيئية القديمة التي تعرضت لها منطقة الدراسة خلال طوابق (الكونياسيان، السانتونيان، الكامبانيان والماستريختيان) العائد إلى تشكيلي الثورة واسترية، من استنتاج التطور الترسبي والباليوجغرافي الذي مرّت به هذه المنطقة وفق خمسة أطوار متميزة:

3-1-الطور الأول (خلال الكونياسيان): يتمثل بحدوث تجاوز بحري طفيف، وذلك بالانتقال من بيئه ضحلة في قمة التورونيان المتمثلة بسحنة من الحجر الكلسي العضوي ذي روبيست، إلى بيئه أكثر عمماً نسبياً ضمن النطاقات تحت المدية في طابق الكونياسيان. كما أنه بدأ خلال الكونياسيان قوى ضغطية في شمال السلسلة الساحلية ناجمة عن بداية الاعتلاء الأفيوليتي على الحافة الشمالية لصفيحة العربية، هذا الضغط أدى إلى تطور طيات لطيفة تجلت على شكل نهوضات ومنخفضات محلية [20-21]، مما انعكس مباشرة على نمط الترسيب في هذه المرحلة. حيث يتميز هذا الطور أفقياً بـعدم التجانس في خصائص الرواسب وسحناتها، ففي الجزء الشمالي من منطقة الدراسة في مقطع شمال ساقية عرامو تسود سحنات كلسية غضاربة على شكل أرضية من المادستون، كما تصل نسبة B/P حتى 60%， ترسّب ضمن الأجزاء العميقه من البيئات تحت المدية، مما أتّاح تراكماً للرواسب الناعمة بعيداً عن تأثيرات الطاقة الحركية العالية، قد تكون هذه البيانات محسوبة جزئياً خلف حاجز كريوناتية. وبالانتقال نحو الجنوب في مقطعي جبلياً **الشيخ حسن** وعین ليلون تشير السحنات الكلسية المدلّمة الغضاربة الغنية بالمنخربات القاعية وخاصةً جنس *Cuneolina* و *Orbitoides* إلى الانتقال لبيئه أقل عمماً ضمن الأجزاء العليا من البيئات تحت مدية محمية جزئياً من التيارات بـواسطة حاجز رسوبيّة، وهذا يتّوافق مع نسبة $B/P=40%$ ، بينما في أقصى جنوب منطقة الدراسة في مقطع **قلعة المهاّبة** تعكس السحنة الكلسية الدولوميتية الحاوية على منخربات طافية، غاستروبودا ويعق من أكاسيد الحديد ونسبة $B/P=70%$ بـبيئات تحت مدية.

بالإضافة إلى التباين الأفقي ضمن هذا الطور، يلاحظ بعض التغيرات السحنية والبيئية الشاقوليّة في بعض المقاطع تعكس ازدياد الطابع التجاوزي للمتاللية الروسية من قاعدة الكونياسيان حتى قمته، يتجلّى هذا التغيير في مقطعي جبلياً **الشيخ حسن** و**قلعة المهاّبة** بالانتقال من حجر كلسى مدلّم غني بالمنخربات القاعية ضمن الأجزاء العليا من البيئات تحت المدية، ليصبح في قمة هذا الطور عبارة عن غضارب كلسية على شكل أرضية من المادستون وتزداد نسبة B/P حتى 70%， مترّسّب ضمن الأجزاء العميقه من البيئات تحت المدية. يعكس هذا التطور الشاقولي في السحنات تجاوزاً بحرياً تدريجياً ناتجاً بـهبوط تدريجي للحوض الروسي نتيجة استمرار التأثير التكتوني المرتّب بالاعتلاء الأفيوليتي شمال الصفيحة العربية.

3-2-الطور الثاني (خلال السانتونيان): تابع ترسّب السانتونيان في المنطقة بشكل مستمر دون انقطاع فوق رسوبيات الكونياسيان، لكنه يُظهر خصائص جيولوجية وبيئية مغايرة تعكس تطواراً في بنية حوض الترسّب، حيث نلاحظ من خلال دراسة بـبيئات الترسّب في جميع المقاطع حصول تجاوز بحري طفيف. ترافقت هذه المرحلة مع استمرار تأثير الاعتلاء الأفيوليتي خلال الكونياسيان على مورفولوجية قاع حوض الترسّب (مرتفعات ومنخفضات)، غير أن النمط البنائي تطور نحو سيطرة حركات شديدة متمثلة بـفوالق عادية مرافقه للتـرسّب [17-18]، ما أدى إلى تشكيل نمط ترسّب غير متجانس أفقياً يتميز بـفروقات واضحة في السماكة والتركيب السـحنـي. حيث يتميز هذا الطور في الجزء الشمالي من منطقة الدراسة في مقطع شمال ساقية عرامو بـسـحنـاتـ منـ الكلـسـ العـضـارـيـ علىـ شـكـلـ أـرـضـيـةـ منـ المـادـسـتـونـ، وـنـسـبـةـ B/P تـصلـ حتـىـ 60%， مما يـشيرـ إـلـىـ التـرسـبـ ضـمـنـ الأـجـزـاءـ عـمـيقـةـ منـ الـبـيـئـاتـ تحتـ المـدـيةـ،

بينما في الجزء المركزي من منطقة الدراسة، نرصد نمطاً معكوساً يتمثل في ارتفاع طفيف لقاع الحوض الرسوبي في مقطع **جبلياً الشيخ حسن**، حيث يتربس الحجر الكلسي الغضاري الحاوي على المنخربات القاعية وأستراكودا نوع **(Cythereis sp.)** الذي يدل على مياه ضحلة دائفة، بالإضافة إلى أكاسيد الحديد ونسبة B/P تصل حتى 40%. تدل هذه المكونات على أن بيئه الترسيب ضمن الأجزاء العليا للبيئات تحت المدية الأكثر استقراراً محمية بحاجز رسوبي أو أعلى قمة نهوض بنوي طفيف. أما في الجزء الجنوبي من منطقة الدراسة فكان تجاوز السانتونييان أكثر وضوحاً حيث ينبع قاع الحوض الرسوبي من جديد في **مقطعي عين ليلون وقلعة المهاية**، وتصبح السحنة عبارة عن حجر كلسي غضاري مع نسبة B/P تصل حتى 70%， تعكس ترسيباً هادئاً ضمن الأجزاء العميقه من البيئات تحت المدية.

يلاحظ أيضاً بعض التغيرات السخنية والبيئية الشاقولية في بعض المقاطع تعكس ازدياد الطابع التجاوزي للمنتالية الرسوبيه من قاعدة السانتونييان حتى قمته، وتجلى ذلك في **مقطع شمال ساقية عرامو** نلاحظ الانتقال من سحنة مادستون كلسية غضارية، حاوية على نسبة عالية من المنخربات الطافية، إلى سحنات مماثلة من المادستون مع ازدياد نسبة B/P حتى أكثر من 70% في قمة هذا الطور، وهذا دليل على ازدياد طفيف في منسوب مياه البحر بالاتجاه نحو قمة هذا الطور، وفي الجزء المركزي من منطقة الدراسة في **مقطع جبلياً الشيخ حسن** نلاحظ تعمق طفيف من قاعدة السانتونييان حتى يتجلى في الانتقال من حجر كلسي غضاري ذي منخربات قاعية المترسب ضمن الأجزاء العليا من البيئات تحت المدية إلى حجر كلسي يحوي منخربات قاعية بنسبة أقل ونسبة عالية من المنخربات الطافية، ويعكس بيئه ترسيب أكثر عمقاً.

3-3-الطور الثالث (خلال الكامبانيان): ترسيب الكامبانيان في المنطقة بشكل متقطع فوق رسوبيات السانتونييان، كما أن دراسة بيئات الترسيب في جميع المقاطع تضع رسوبيات الكامبانيان ضمن منتالية رسوبيه انسحابية. ترافق هذا الطور مع تأثير واضح للتكتونيك الشدي، الممثل بالفالق العادي المرافق للترسيب [17-18]، والتي ساهمت في نشوء تباينات محلية في الترسيب. تتشابه السحنة في مقاطع شمال ساقية عرامو، **جبلياً الشيخ حسن، عين ليلون وقلعة المهاية**، وتتألف من حجر كلسي فوسفاتي غلوكونيت حاوٍ على، بقع من أكاسيد الحديد، كوارتز، حبات من البليت، أسنان اسماك مسيلسة، صفيحيات غلاصم، ومنخربات قاعية من أهمها (*Cavelinella*، *Textularia*)، (*Lenticalina* بنسن أكبر من المنخربات الطافية، يجمع بينها ملاط سباريتي، مترببة ضمن بيئات قليلة العمق عالية النشاط.

يلاحظ أيضاً بعض التغيرات السخنية والبيئية الشاقولية في **مقطع شمال ساقية عرامو** حيث يبدأ بسويات من الرمل الكلسي (**الكالكارينيت**) حاوٍ على صفيحيات غلاصم، بليت فوسفاتي، ترسيب في وسط عالي النشاط قريب من القارة ضمن بيئه فوق مدية يعلوها طبقات من الحجر الكلسي الفوسفاتي الغلوكونيت، يعكس هذا الانتقال من سحنة كالكارينيتية عالية الطاقة إلى سحنة فوسفاتية غلوكونيتية أكثر عمقاً بقليل، حدوث تجاوز بحري طفيف. كما تعرضت الصخور الكلسية الفوسفاتية الغلوكونيتية في قاعدة هذا الطور في جنوب منطقة الدراسة في **مقطعي عين ليلون وقلعة المهاية** إلى عملية دلمة طفيفة، ما يرجح ترسيبها في الأجزاء العليا من البيئات تحت المدية ذات افتتاح نببي، وهذا دليل حدوث انسحاب بحري طفيف ترافق مع ركود مائي متزايد وتناقص في طاقة الوسط وذلك بالانتقال من بداية هذا الطور حتى قمته. تتوافق نسبة المنخربات الطافية على القاعية B/P في جميع المقاطع، حيث تتراوح بين 20% حتى 30%.

3-4-الطور الرابع (خلال الماستريختيان الأسفل): يعود التجاوز البحري من جديد مع بداية الماستريختيان الأسفل. حيث ترسيب الماستريختيان الأسفل في المنطقة بشكل متقطع فوق رسوبيات الكامبانيان ولكن ضمن بيئات ترسيب أكثر

عمقاً، حيث كان للتكلونيكي الشدي الممثل باستمرار الفوالق العادية المرافق للترسيب تأثير واضح على رسوباته [17]. يتميز هذا الطور أفقياً بعدم التجانس في خصائصه الرسوبية، حيث تظهر دراسة المقاطع تدرج أفقى في بيئات الترسيب من الشمال نحو الجنوب، بينما بيئات ضمن الأجزاء العليا من البيئات تحت المدية في مقطع شمال ساقية عرامو متمثلاً بحجر كلسي غضاري حاوٍ على حبات من الغلوكونيت، عضديات أرجل، ومنخربات قاعية بغارة من أهمها أجناس من تحت رتبة *Miliolina* و الجنس *Orbitoides*، ونسبة أقل من المنخربات الطافية، يعكس طاقة الترسيب منخفضة، بينما تصبح المتالية التجاوزية الممثلة للماستريختيان الأسفل واضحة بالاتجاه نحو الجنوب من منطقة الدراسة في مقطع عين ليلون، حيث تصبح السحنة عبارة عن حجر كلسي غضاري حاوٍ على حبات من الغلوكونيت بالإضافة إلى نسبة من المنخربات الطافية مثل أجناس (*Globotruncana*، *Rugogloigerina*) أعلى من القاعية، ترسبت ضمن الأجزاء العميقة من البيئات تحت المدية، وهذا دليل على هبوط تدريجي في قاع الحوض الروسي باتجاه الجنوب. إن هذا التدرج البيئي من الصحل إلى العميق، يدل على تأثيرات محلية داخل الحوض (ارتفاعات وانخفاضات)، وتوقف في الانفتاح البحري بفعل حاجز رسوبي جزئية سمحت بتمايز البيئات من حيث الطاقة ودرجة الانفتاح. رغم التباين الأفقي في البيئات، لا يُظهر الماستريختيان الأسفل تغيرات سخنية شاقولية واضحة بسبب سماكته القليلة واستقرار نسبي في الظروف الترسيبية والتكتونية. كما أن نسبة B/P تتوافق مع جميع بيئات الترسيب المقترنة. حيث تصل هذه النسبة حتى 50% في مقطع شمال ساقية عرامو، و 70% في مقطع عين ليلون.

3-5-الطور الخامس (خلال الماستريختيان الأعلى): يمثل الماستريختيان الأعلى تعمق واضح في حوض الترسيب وذلك لأول مرة، أي حدوث تجاوز بحري واضح، ما ساهم في توضيع رسوبيات الماستريختيان الأعلى على كامل امتداد منطقة الدراسة. يتميز هذا الطور أفقياً بالتجانس في خصائصه الرسوبية، تتالف سحنته في مقاطع شمال ساقية عرامو، جبلايا الشيخ حسن، عين ليلون وقلعة المهابة من مارل تتخلله سويات سنتيمترية من الحجر الكلسي الغضاري أكثر قساوة، حاوٍ أجناس (*Globotruncana*، *Arceoglobigerina*، *Pseudotextularia*، *Heterohelix*) من المنخربات القاعية من أهمها (*Neoflabellina*) بالإضافة إلى صفيحيات غلاصم وغازتروبودا بنسن أقل، كما يحوي حبات نادرة من الغلوكونيت. تعكس هذه السحنات ترسيبياً منتظماً في بيئه بحرية هادئة، مستقرة ذات مياه حرة الحركة وهذا ما يؤشر على وسط بحري عميق وهذا يتواافق مع نسبة B/P التي تتجاوز 95%， وتميز هذه السحنات أيضاً بوجود عقد من الصوان والباريت في مقطعي شمال ساقية عرامو وقلعة المهابة، كما تدل السويات الكلسية الغضارية المتباوية داخل سحنة المارل على تذبذبات دورية في منسوب مياه البحر. بينما بالنسبة للتغيرات الشاقولية تلاحظ فقط في مقطع شمال ساقية عرامو وهي ممثلة بانتقال بيئي من ترسيب في بيئات قليلة العمق عالية النشاط (سحنة كلسية فوسفاتية غلوكونيتية)، إلى ترسيب في بيئات أعمق (سحنات مارلية غنية بالمنخربات الطافية)، إن هذا الانتقال يدعم تفسير وجود حاجز رسوبي جزئية، أفسحت المجال تدريجياً لترابك الرواسب البحريه العميقة. وبعد هذا الطور تتوياجاً للمتالية التجاوزية التي بدأت في الماستريختيان الأسفل.

الاستنتاجات والتوصيات:

الاستنتاجات:

- 1-استخدام حمض الأسيتيك الثلجي (CH_3COOH glacial) في تحضير العينات المستحاثية لأول مرة في سوريا وتحديد أفضل نسبة له للصخور الكلسية متوسطة القساوة وهي 90% لعينة مسخنة على طبق بدرجة حرارة 100° وزمن نقع 3 ساعات، بينما احتاجت الصخور الكلسية المدللنة القاسية لزمن نقع 6 ساعات.
- 2-تأكيد أعمار كافة الصخور المدروسة في رقعة الحفة وبالتالي تأكيد الأعمار البيوستراتغرافية لتشكيلاتي الثورة واستربة. وتقسيم صخور هاتين التشكيلتين العائدة إلى عصر الكريتاسي الأعلى إلى طوابق الكونيسيان، السانتونيان، الكامبانيان، والماستريختيان، وقسمت هذه الطوابق إلى ثمانية نطاقات إحيائية.
- 3-غياب نطاق *Globotruncanita elevata* الذي يمثل أول نطاق في طابق الكامبانيان الأسفل في كافة المقاطع المدروسة، وهو يعتبر نطاق حدي بين طابقي السانتونيان والكامبانيان.
- 4-تحديد بعض الأنواع القاعدية الهامة مثل (*Bolivinoides draco draco* (MARSSON) الذي يبدأ مع بداية الماستريختيان الأسفل، ونوع (*Neoflabellina rectulata* (REUSS) المميز للماستريختيان الأعلى.
- 5-تقسيم هذه التشكيلات المدروسة إلى وحدات صخرية تقسم بدورها إلى تحت وحدات وتحديد الموصفات السحنية لكل منها، وربطها بالنطاقات الإحيائية.
- 6-تم تبييز خمسة أنماط من السحنات الرئيسية المسيطرة على التشكيلات المدروسة: 1-المارلية، 2-الكلسية الغضارية وتضم (تحت السحنة الكلسية الغضارية المترسبة على شكل أرضية، تحت السحنة الكلسية العضوية-الغضارية ذات المنحرفات القاعدية، وتحت السحنة الكلسية العضوية-الغضارية ذات المنحرفات الطافية)، 3-الكلسية الدولوميتية (تحت السحنة الكلسية العضوية-المدللنة الغضارية وتحت السحنة الكلسية الفوسفاتية المدللنة)، 4-الكلسية الفوسفاتية، 5-الكالكارينيتية.
- 7-تم تحديد 5 أطوار للتطور الترسيبي والباليوجغرافي، وهي: الطور الأول: خلال الكونيسيان (طور تجاوzi مضطرب)، الطور الثاني: خلال السانتونيان (تجاوزي تدريجي منتظم)، الطور الثالث: خلال الكامبانيان (طور انسحابي)، الطور الرابع: خلال الماستريختيان الأسفل (طور تجاوzi) والطور الخامس: خلال الماستريختيان الأعلى (طور تجاوzi صريح).

التوصيات:

- 1-متابعة الدراسة على طول السلسلة الساحلية وتحديد أماكن استمرارية وانقطاع ترسيب الطوابق (الكونيسيان، السانتونيان، الكامبانيان والماستريختيان).
- 2-دراسة جيوكيميائية لتوضيعات الفوسفات الموجودة ضمن طابق الكامبانيان لتقدير إمكانية الاستفادة منه اقتصادياً.
- 3-تحديد نسب وتركيز حمض الأسيتيك الثلجي (CH_3COOH glacial) في تحضير العينات الصخرية الكلسية القاسية والمدللنة ضمن التشكيلات الأخرى في سوريا.

References:

- [1] Sh. Youssef, Explanatory Notes for the Al-Haffeh Sheet NI - 37 - S - 3 - A Scale 1: 50000. Geological Map of Syria, Directorate of Geological Surveys and Studies, General Est. of Geology and Mineral Resources, Ministry of Oil and Mineral Resources, Syrian Arab Republic, pp. 64, (1979).
- [2] M. Al-kadi, M.T. Younes and S. Al-bub, Stratigraphy, Petrology and Sedimentology of Cretaceous formations in Alhaffa Sheet(Coastal chain - NW of Syria), Damascus University Journal for Research and Scientific Studies - Basic Sciences Series Vol. (23) No. (1), (2011).
- [3] Sh. Youssef, M. Kh. Baalbaki, J. Ajamian, and Y. Suleiman, Geological Map of the Al-Haffeh Sheet (NI - 37 - S - 3 - A), Scale 1: 50,000. Directorate of Geological Surveys and Studies, General Est. Of Geology and Mineral Resources. (1979).
- [4] F.C. Thomas, M.G. Murney, Techniques for extraction of foraminifers and ostracodes from sediment samples, Canadian Technical Report of Hydrography and Ocean Sciences, pp. 54, (1985).
- [5] G.B. Rodrigues, M.H. Bom, G. Fauth, Recovery of ostracods in Cretaceous dolomitic carbonate: The efficiency of acetolysis. *Marine Micropaleontology*. volumes 92–93.81-86. (2012).
- [6] R. Coccioni, & I. Premo Silva, Revised Upper Albian – Maastrichtian planktonic foraminiferal biostratigraphy and magneto-stratigraphy of the classical Tethyan Gubbio section (Italy). *Newsletters on Stratigraphy*. 48. 10.1127/nos/2015/0055. (2015).
- [7] MH. Malik, SA. Chan, LO. Babalola, MA. Kaminski, Optimization of the acetic acid method for microfossil extraction from lithified carbonate rocks: Examples from the Jurassic and Miocene limestones of Saudi Arabia. *Methodss*. Aug 28; 9:101828. doi: 10.1016/j.mex.2022.101828. PMID: 36106048; PMCID: PMC9465100. (2022).
- [8] J. Salaj, & O. Samuel, Foraminifera der Westkarpaten – Kreide. Bratislava : Geologický ústav Dionýza Štúra. (1966).
- [9] J.A. Postuma, Manual of Planktonic Foraminifera. Elsevier Scientific Publishing Company. (1971).
- [10] N. Al-Khateib, Stratigraphic study " Micropaleontology and microfacies" of the Lower Senonian sediments in Palmyridian Chain, PhD Thesis, Supervision Prof. Kaid Maloula, Participation Dr. Mohamed Khaled Yazbek, Faculty of Science, Department of Geology, Damascus University, Syria, (2016).
- [11] F.J. Pettijohn, Sedimentary Rocks. 3rd Edition, Harper and Row, New York, pp 628. (1975).
- [12] R.L. Chillingar, and R.D. Terry, Relationship Between Porosity and Chemical Composition of Carbonate Rocks. *Petrol. Engr. B – 54*, 2, pp 341. (1964).
- [13] R.J. Dunham, Classification of Carbonate Rocks According to their Depositional Texture, In Classification of Carbonate Rocks, Ham, W. E. (eds.), *Geol Mem. A. A. P. G.*, Tulsa. N°.1, pp.108 – 121. (1962).
- [14] R.L. Folk, Practical Petrographic Classification of Limestone. *Amer. Assoc. Petroleum Geol. Bull.*, 43, pp. 1 – 38. (1959).
- [15] W.C. Park, and E. H. Schot, Stylolites: Their Nature and Origin. *U. S. A. Jour. Sed. Petrology* N° 38, pp. 175 – 191(1968).
- [16] M. CARON, Cretaceous planktic foraminifera. In H.M. Bolli, J.B. Saunders and K. Perch-Nielsen (Eds.), *Plankton Stratigraphy*. Cambridge University Press, p. 17. (1985).
- [17] M. Al-kadi, M.T. Younes and S. Al-bub, Paleo-Stress Analyses of Cretaceous Sediments in Alhaffa Sheet (Coastal Range - Nw of Syria), Latakia University Journal for Research and Scientific Studies - Basic Sciences Series Vol. (32) No. (2), (2010).

- [18] A.K. Alabdalla, Evolution Tectonique de la Plate-forme Arabe en Syrie depuis le Mésozoïque. Thèse de Doctorat de l'Université Pierre et Marie Curie, Tectonique – Sciences de la Terre, Paris, pp. 187–204, (2008).
- [19] B.H. Purser, Sedimentation et diagenese des carbonates neritques recents (Tome 2). *Societé des Editions Technique*, Paris Cedex 15. (1983).
- [20] M.F. HARDENBERG, A. H.F. ROBERTSON, Sedimentology of the NW margin of the Arabian plate and the SW NE trending Nahr El-Kabir half-graben in northern Syria during the latest Cretaceous and Cenozoic. *Sedimentary Geology*, 201, 3-4, pp.231-266. (2007).
- [21] W. Hamdo. Updating Some Geological Survey Data in The Syrian Coastal Region (Lattakia, Jableh, Haffa and Qardaha sheets), PhD Thesis, Supervision Dr. Abd-Alkarim Al-Abdellah, Participation Dr. Samer Al-bub, Faculty of Science, Department of Geology, Latakia University, Syria, (2023).